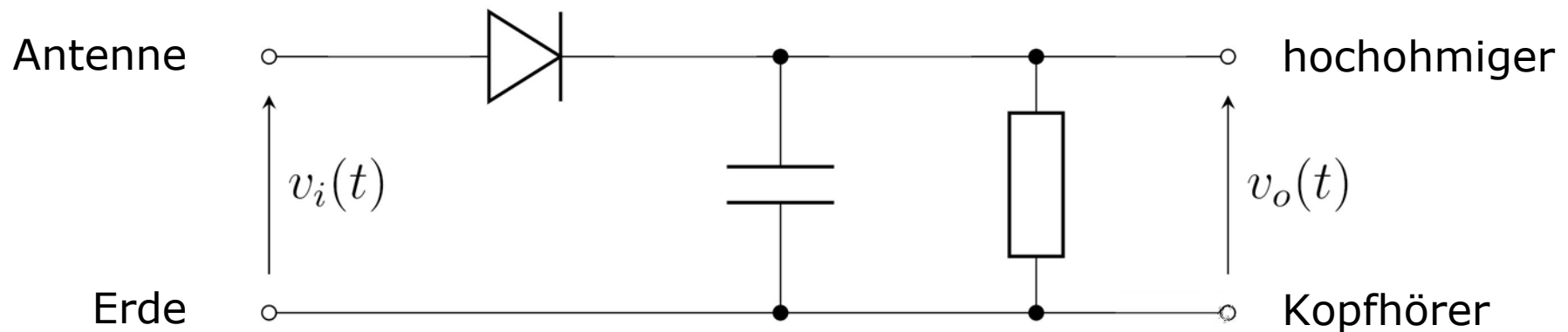
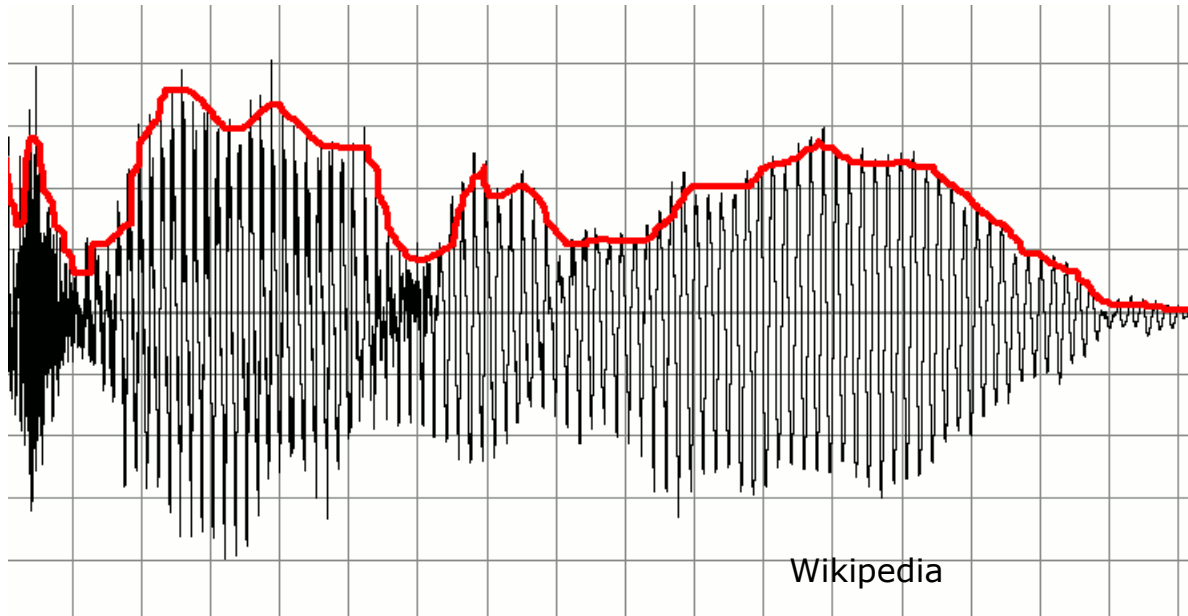


# Hüllkurvendemodulator (oder H.detektor)

Demodulator für amplitudenmodulierte Signale (HF Trägers. + NF Nutzs.)

Gleichrichter + Tiefpass

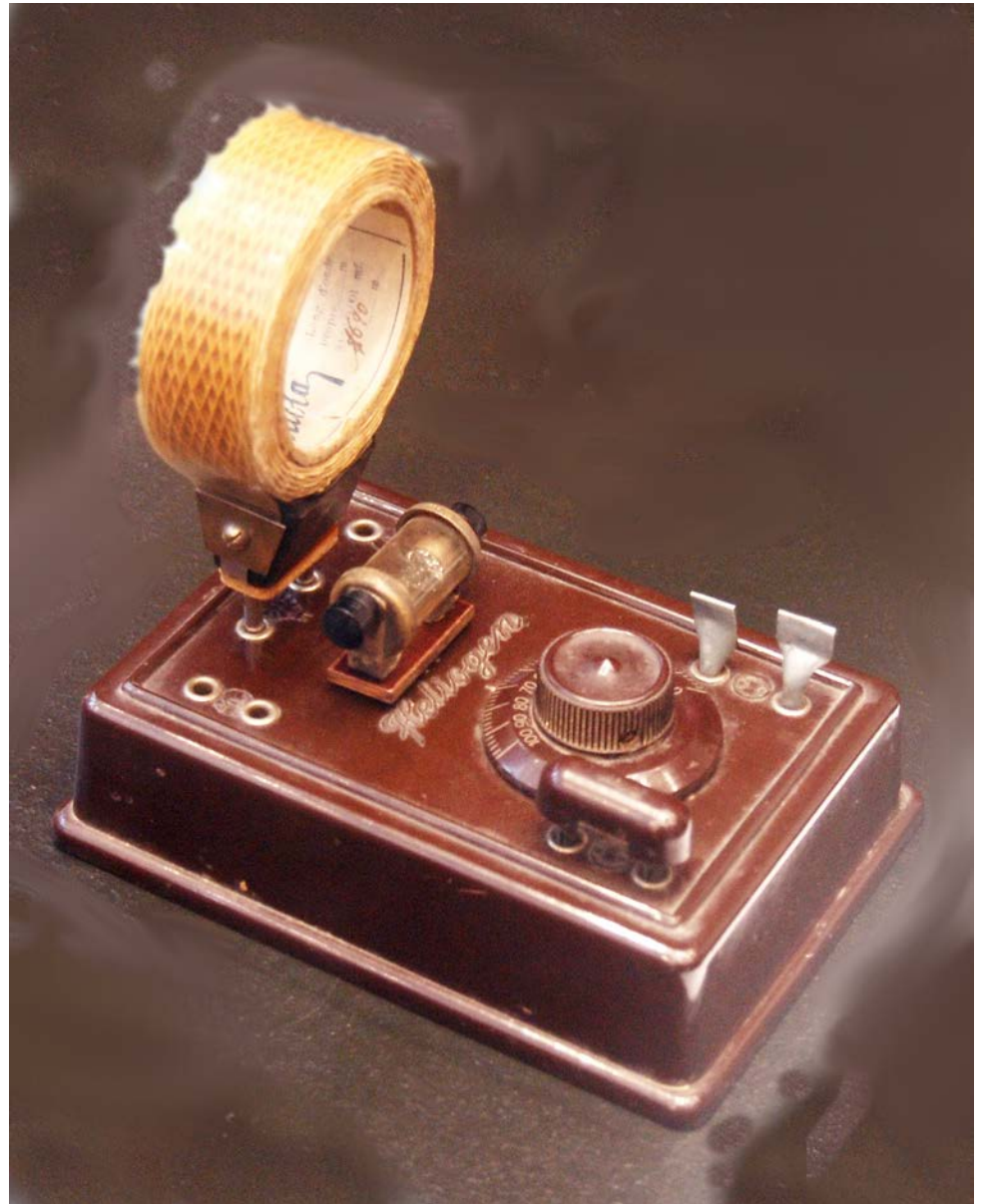


# Kristalldetektor

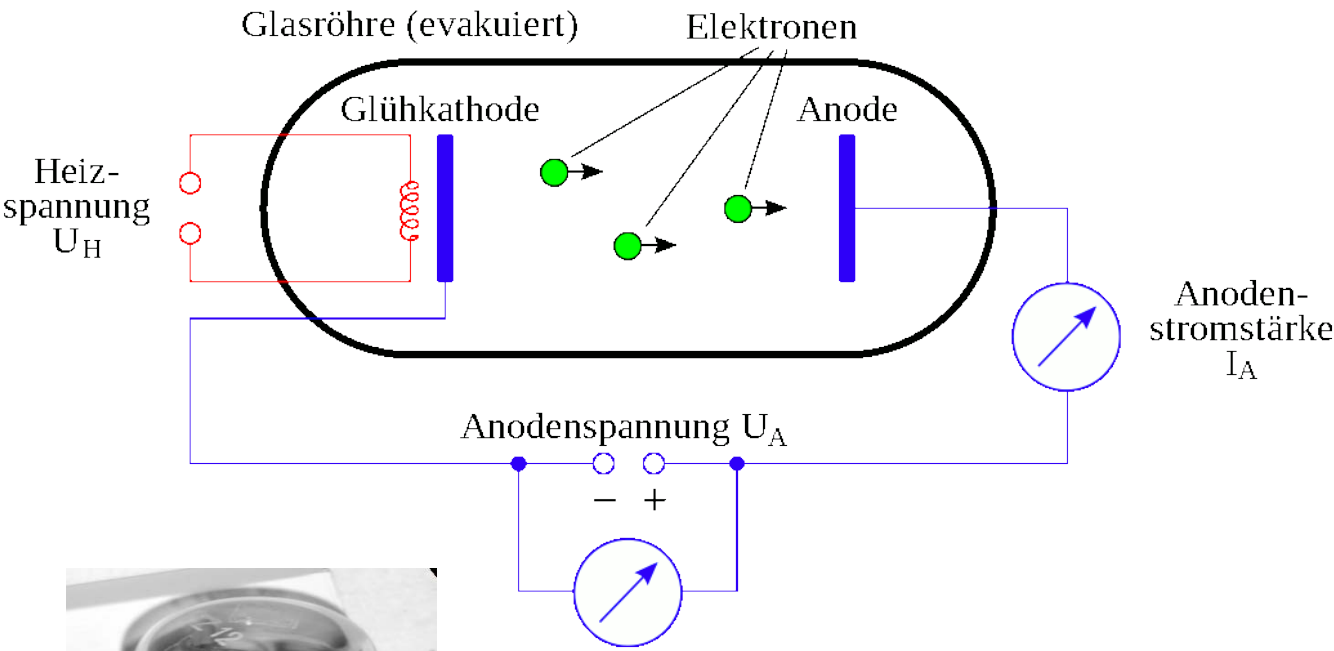
Schottkykontakt

z.B. PbS (Bleiglanz)

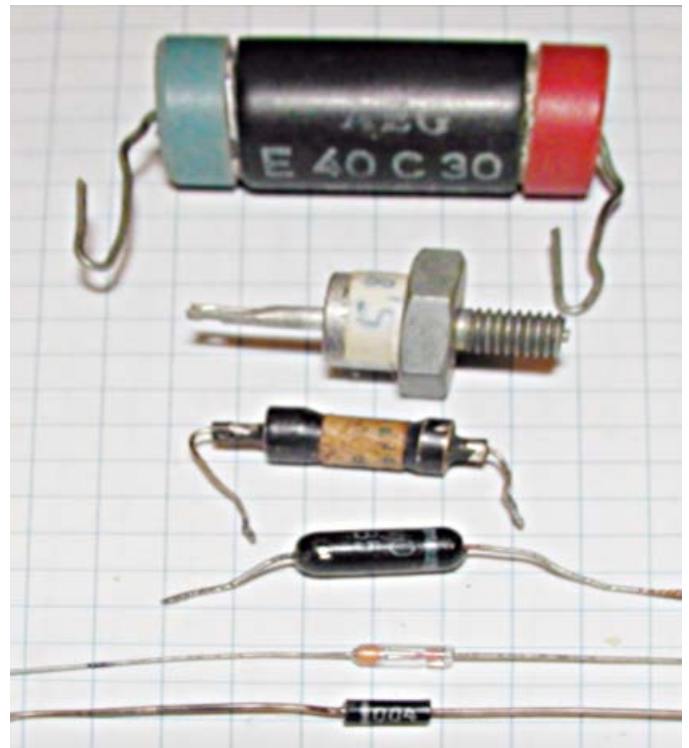
+ Metallspitze



# Röhrendiode



# Halbleiterdiode



Halbleiterdiode  
in IC →

Beleuchtung: Glühfaden, Gasentladung, LED

Logikschaltungen: Relais, Röhren, Transistor, IC

# Halbleiterbauelemente: Grenzflächen

HL-Vakuum, HL-Metall, HL-HL

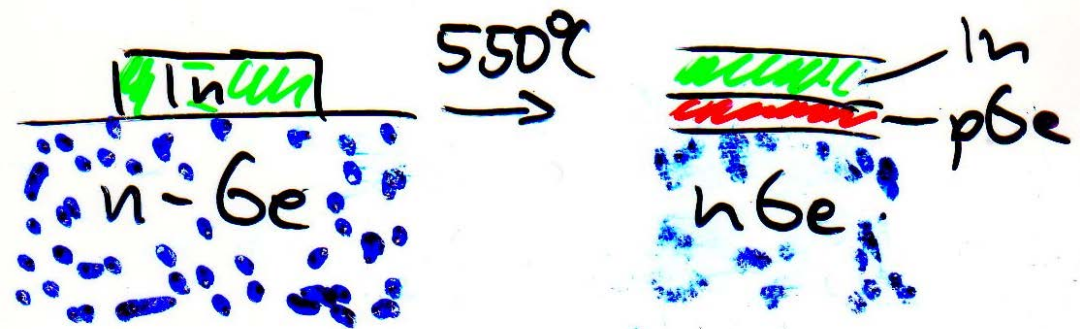
Grenzfläche stört oben berechnetes Gleichgewicht von  $p$ ,  $n$   
bewegliche Ladungen reagieren, Ionen sind aber ortsfest

⇒ Raumladungszonen

"1. Paradebeispiel":  $pn$ -Übergang

Ziel:  $\rho(x)$ ,  $E(x)$ ,  $C(U)$

Herstellungsverfahren: z. B. Diffusion, Implantation



"virtuelle" Herstellung:

Zusammenfügen je eines n- und p-Blocks

Gradient der e- und h-Dichten

Diffusionsströme  $j_D$

e:  $n \rightarrow p$ ; h:  $p \rightarrow n$

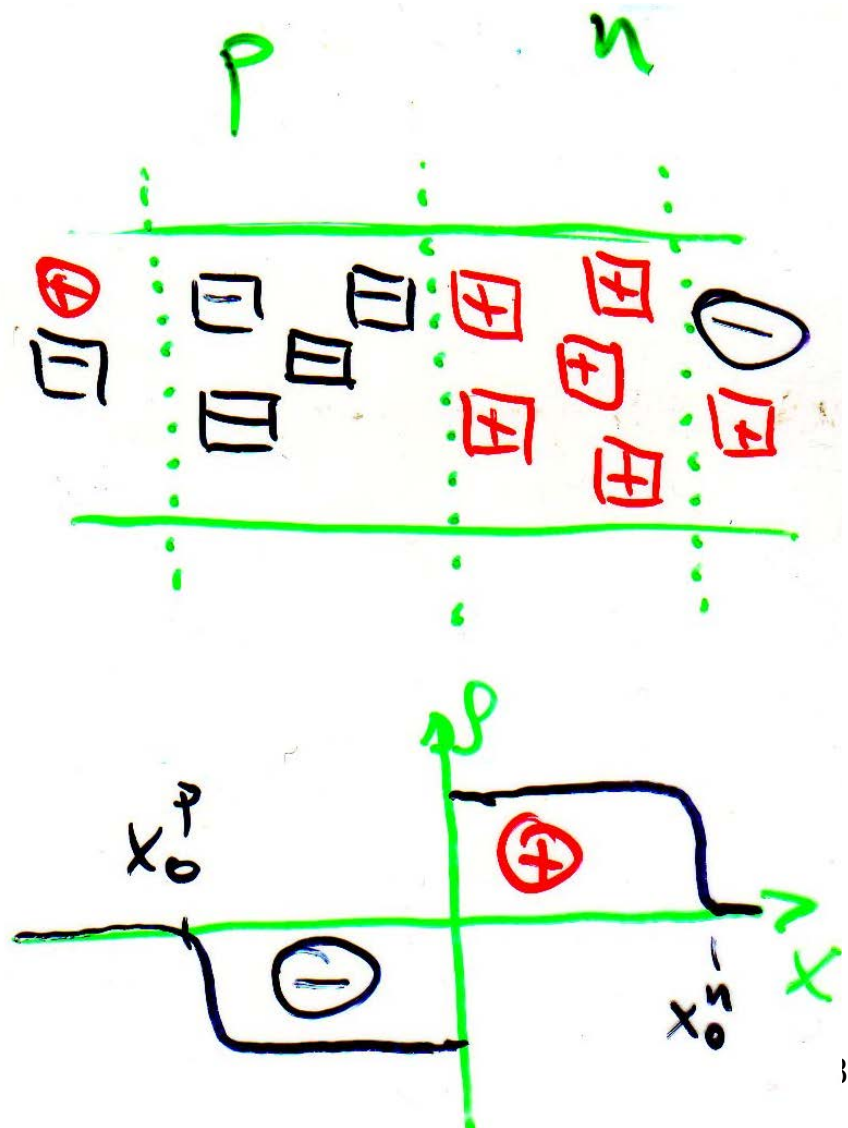
Ionen bleiben zurück

e & h rekombinieren

"steady state"

Raumladungszone

Verarmungszone

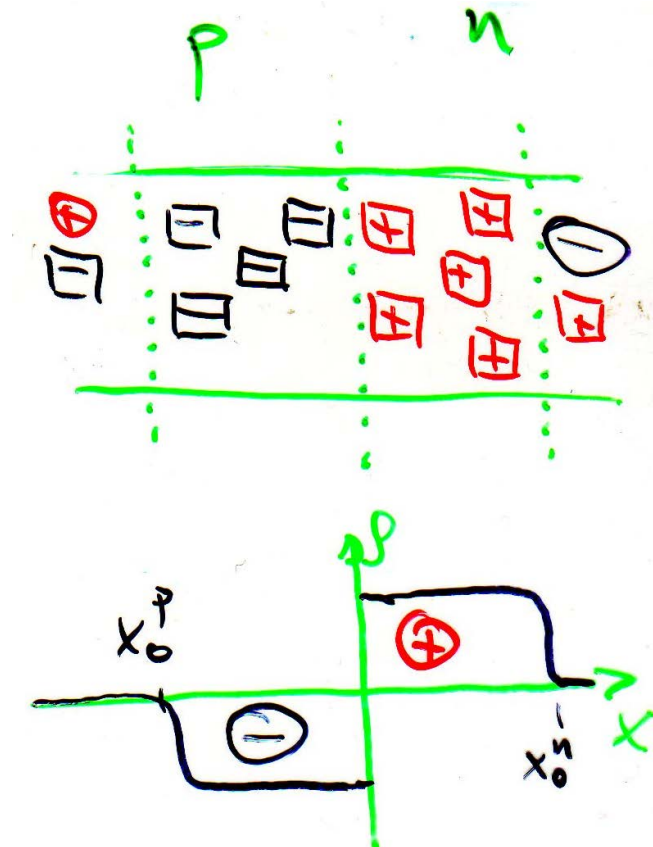


Raumladung  $\rightarrow$  E-Feld  $\rightarrow$  Feldstrom  $j_F$

$j_F$  ist entgegengesetzt zu  $j_D$

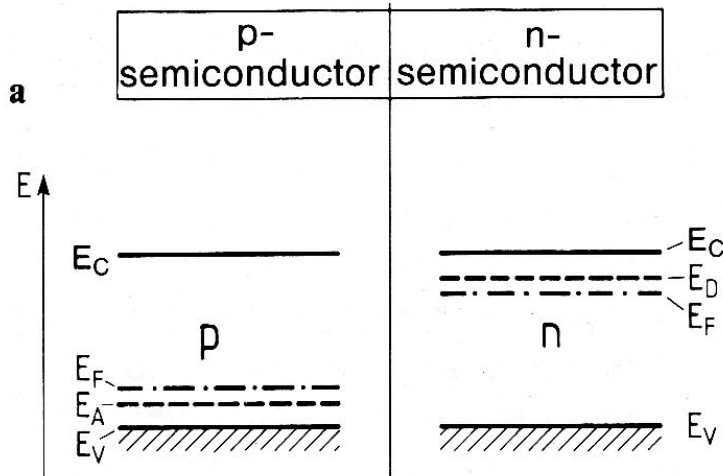
$\rightarrow$  dynamisches Gleichgewicht mit  $j_D + j_F = 0$

dann ist  $E_F(x) = \text{const.}$

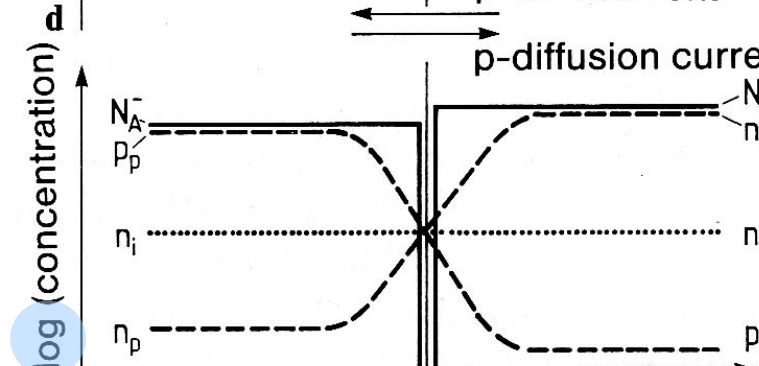
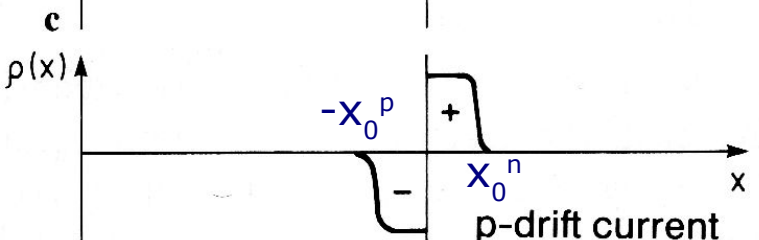
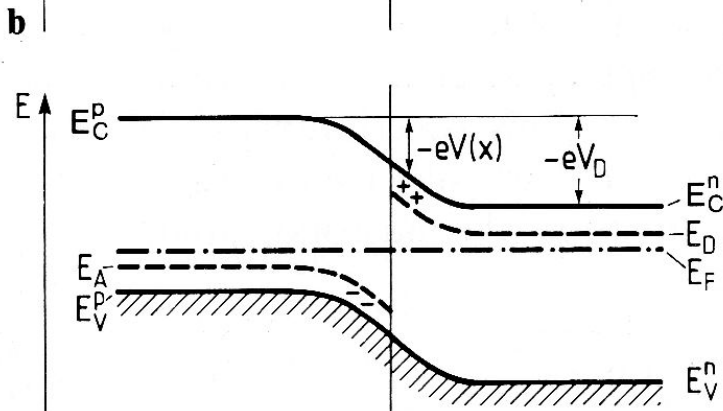


# pn-Übergang

Vor Kontakt



Kontakt im Gleichgewicht



- abrupt transition from p to n doping
- all dopants ionized in bulk semiconductors

$N_j$  densities,  $j = A$ )cceptors,  $D$ )onors

$E_i$  ground state energies

$E_F$  "Fermi level"  $\mu$

$E_C^p, E_V^p, E_C^n, E_V^n$  conduction/valence band edges deep in p/n regions

$V_D$  diffusion voltage

$V(x)$  macropotential of p-n junction

$\rho(x)$  space charge density (ionized A, D)

$n_i$  intrinsic electron concentration

$n_{n/p}$  electron concentrations on n/p side

$p_{n/p}$  hole concentrations on n/p side

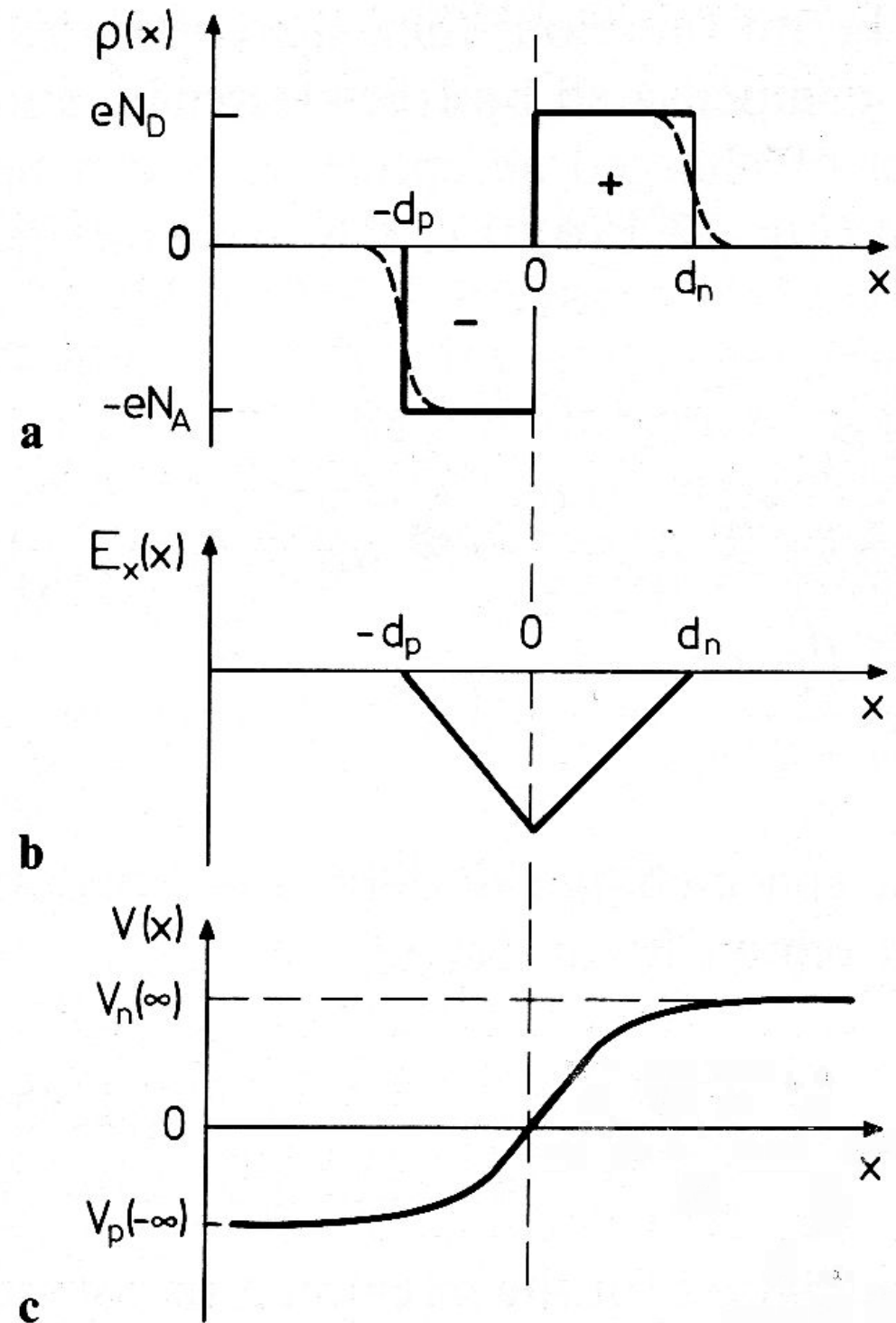
$E_F$  konstant  $\Rightarrow$

Bandverbiegung & Diffusionsspannung



# Schottkymodell

**Fig. 12.16 a–c.** The Schottky model for the space-charge zone of a  $p-n$  junction (at  $x=0$ ). **a** Spatial variation of the space-charge density  $\rho(x)$  produced by the ionized acceptors ( $N_A$ ) and donors ( $N_D$ ). The real form of the curve (*dashed*) is approximated by the rectangular (*full line*) form; **b** behavior of the electric field strength  $E_x(x)$ ; **c** the potential  $V(x)$  in the region of the  $p-n$  junction

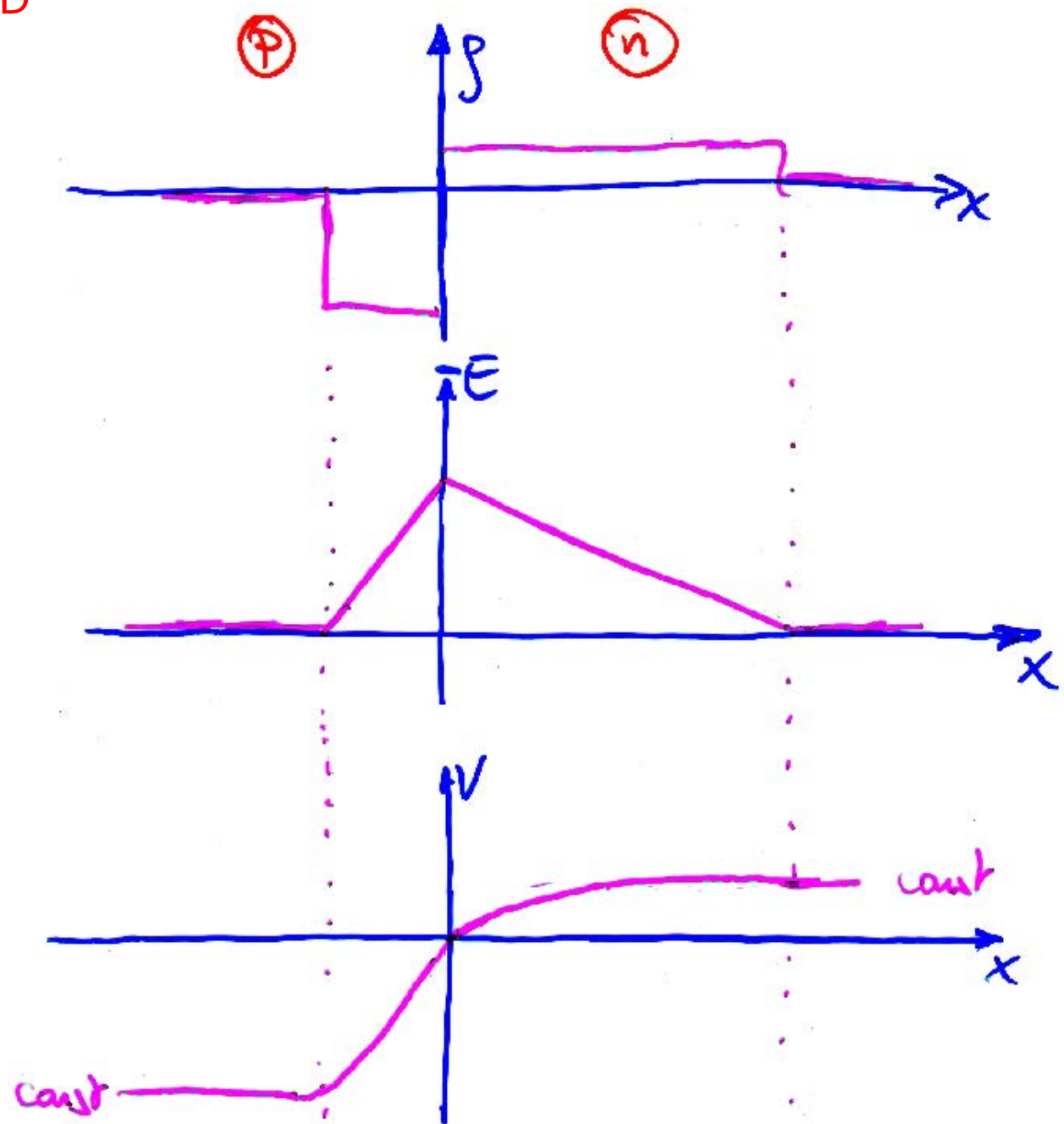


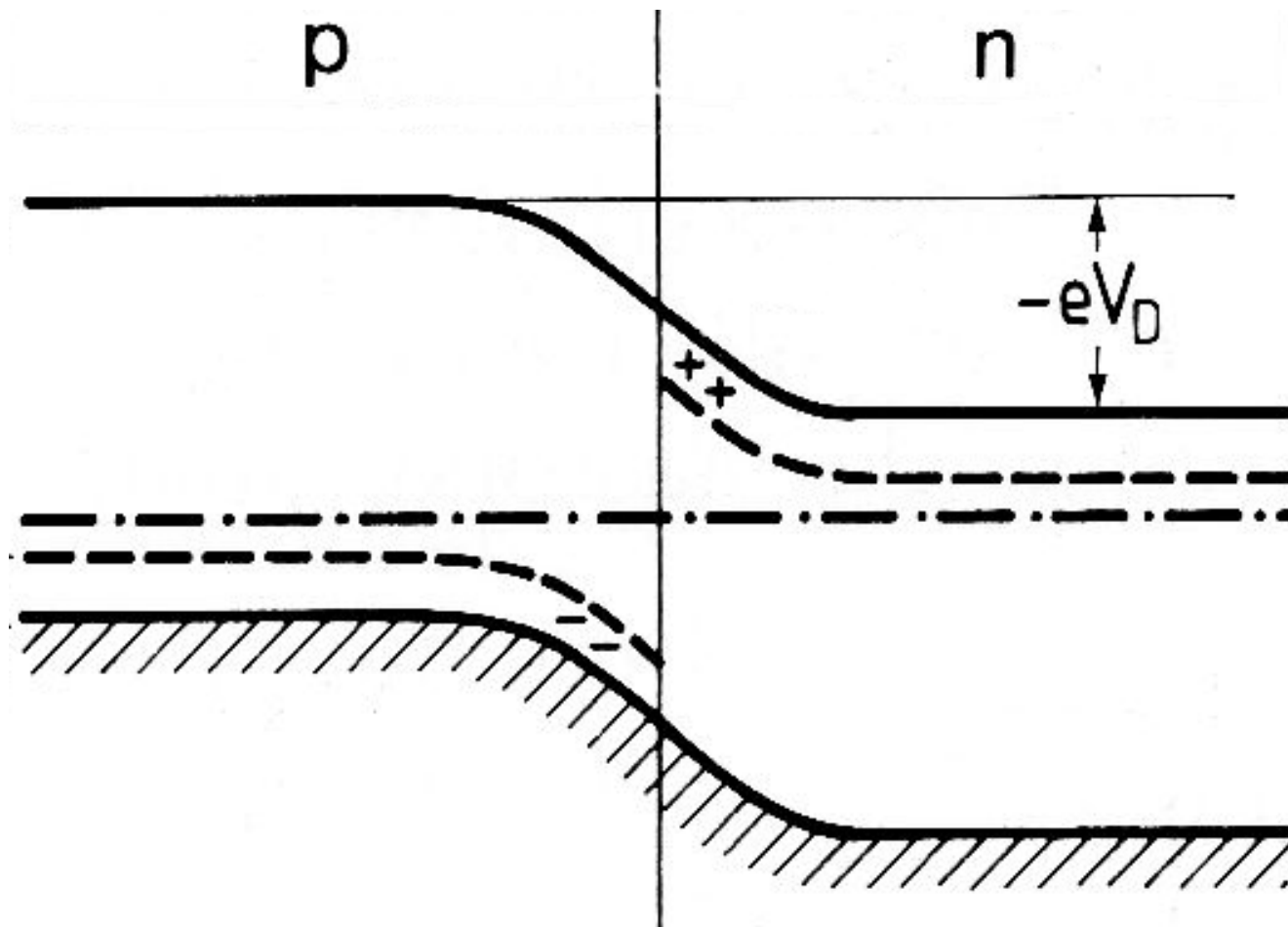
# Schottkymodell

$$d^{(n)} = \frac{N_A}{N_D} d^{(p)} = \sqrt{2 \frac{\epsilon \epsilon_0}{e} (V_D - U) \frac{N_A}{N_D} \frac{1}{N_A + N_D}}$$

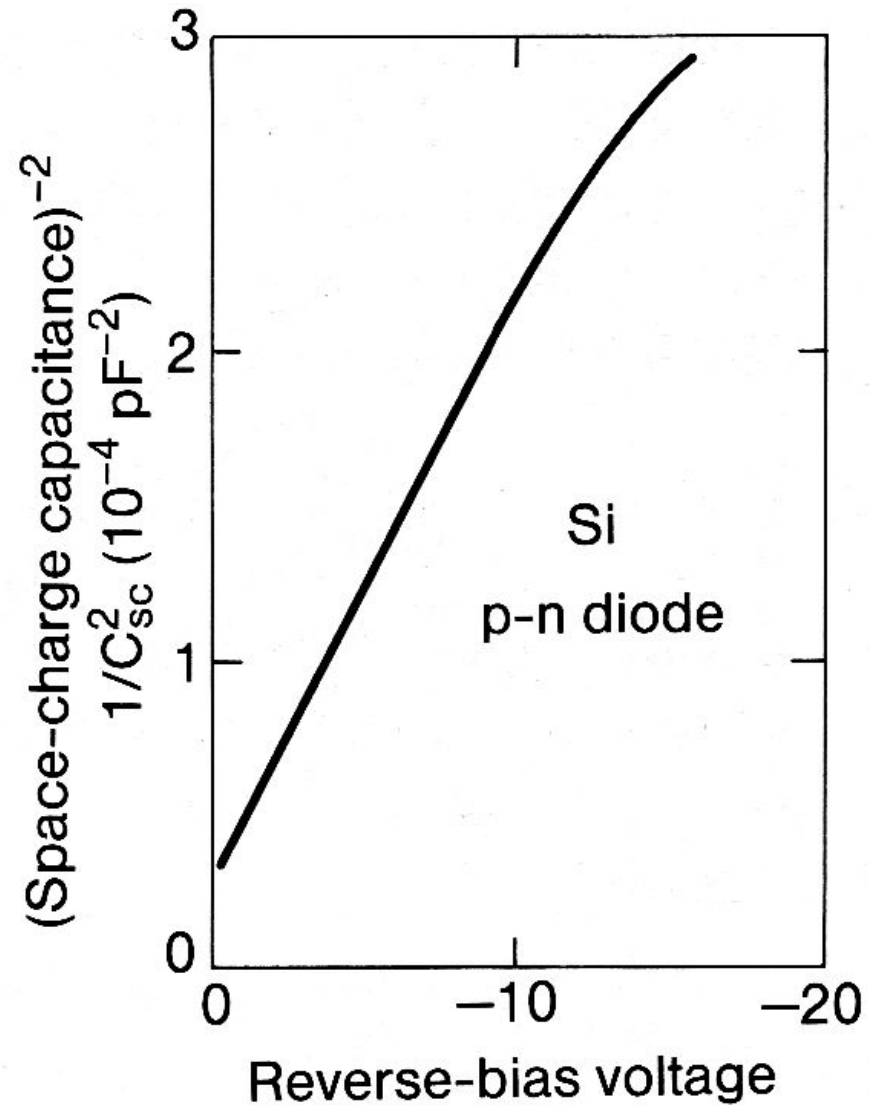
$$E(0) = 2 \frac{V_D - U}{d^{(n)} + d^{(p)}}$$

# Resultat für $N_A \gg N_D$

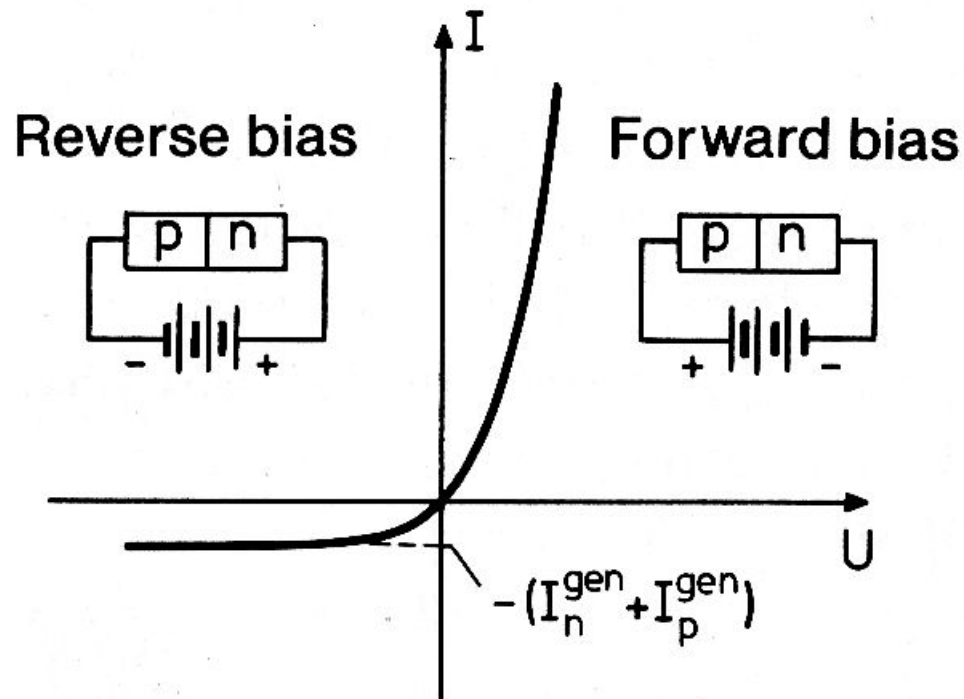




**Fig. 12.20.** Experimentally determined relationship between the space-charge capacitance and the reverse voltage (indicated by negative values) for the Si  $p-n$  diode discussed in Fig. 12.19. (From the advanced lab. course of the II. Physics Institute of the RWTH Aachen)



# Rectification at a pn-Junction



Schematic current-voltage characteristics

Maximum reverse current:

sum of electron and hole generation currents

Fig. 12.17 Ibach-Lüth

# Experimental I-V characteristics of a Si p-n junction

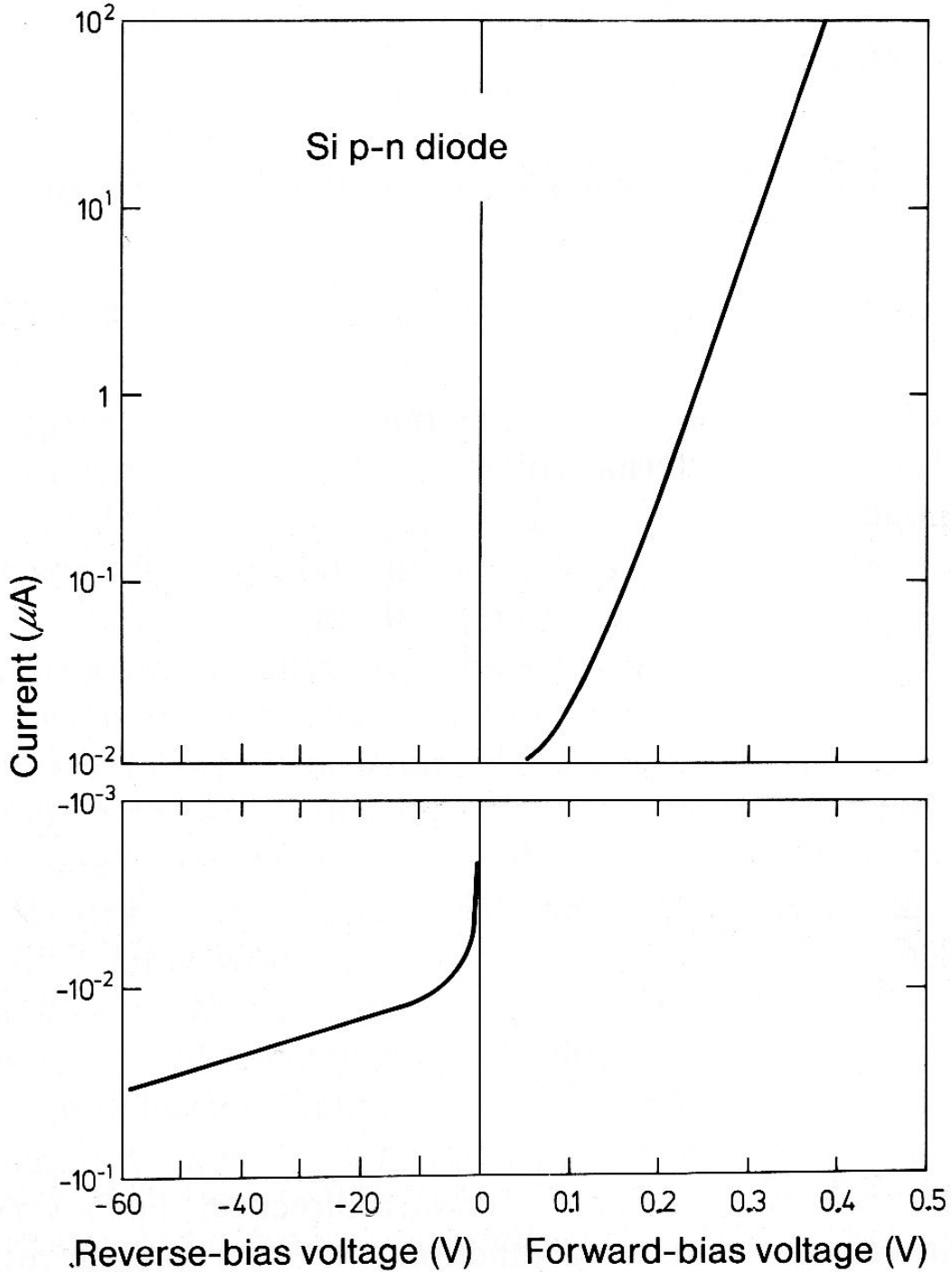
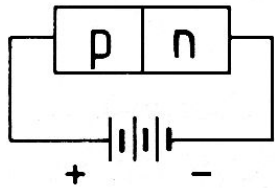


Fig. 12.19 Ibach-Lüth

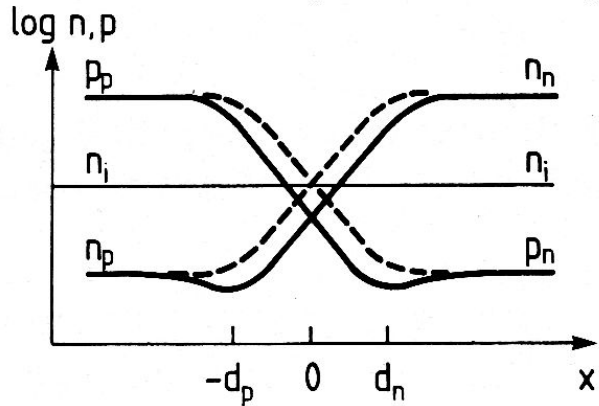
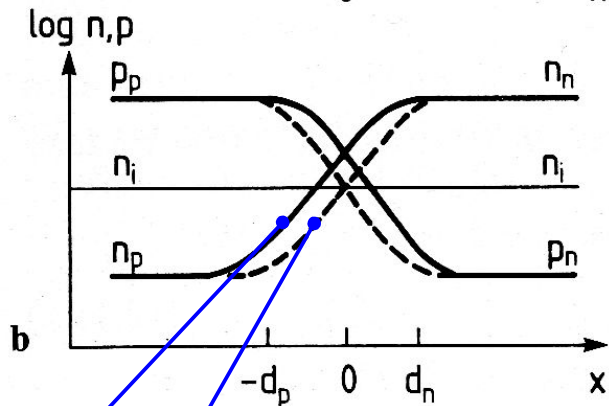
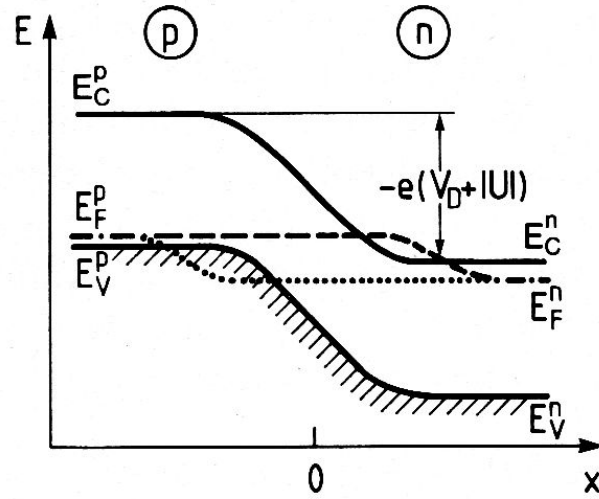
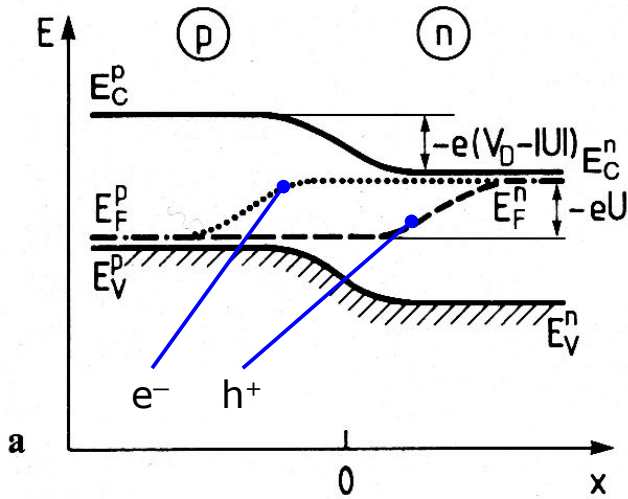
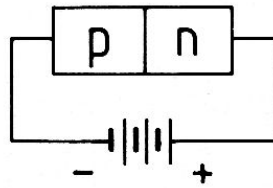
Lab course  
II. Physikalisches Institut  
RWTH Aachen

# Non-equilibrium situation: Quasi Fermi levels

Forward bias



Reverse bias



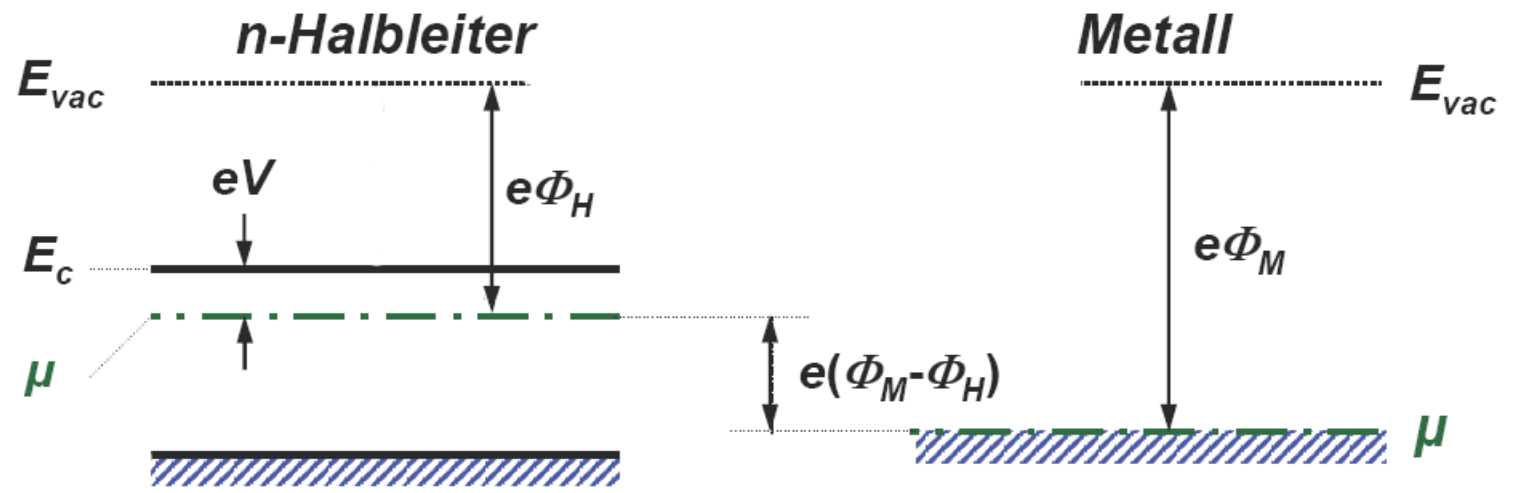
Bias No bias

**Fig. 12.18 a, b.** Forward- and reverse-biased  $p-n$  junctions (non-equilibrium state). **a** Band scheme in the presence of an external voltage  $+U$  or  $-U$ . The Fermi levels  $E_F^p$  and  $E_F^n$  in the  $p$  and  $n$  regions are shifted with respect to one another by  $eU$ . In the region of the  $p-n$  junction, the equilibrium Fermi level ( $-\cdot-\cdot-$ ) splits into so-called quasi Fermi levels for electrons ( $\cdot\cdot\cdot$ ) and for holes ( $-\cdot-\cdot-$ ); **b** spatial variation of the concentration of holes  $p$  and electrons  $n$  in a biased  $p-n$  junction (full line) and without bias at thermal equilibrium ( $-\cdot-\cdot-$ ). The lengths  $-d_p$  and  $d_n$  give the range of the space charge zone in thermal equilibrium, i.e. without bias voltage. The carrier concentrations deep in the  $p$  and  $n$  regions are denoted  $p_p, n_p$  and  $p_n, n_n$ , respectively

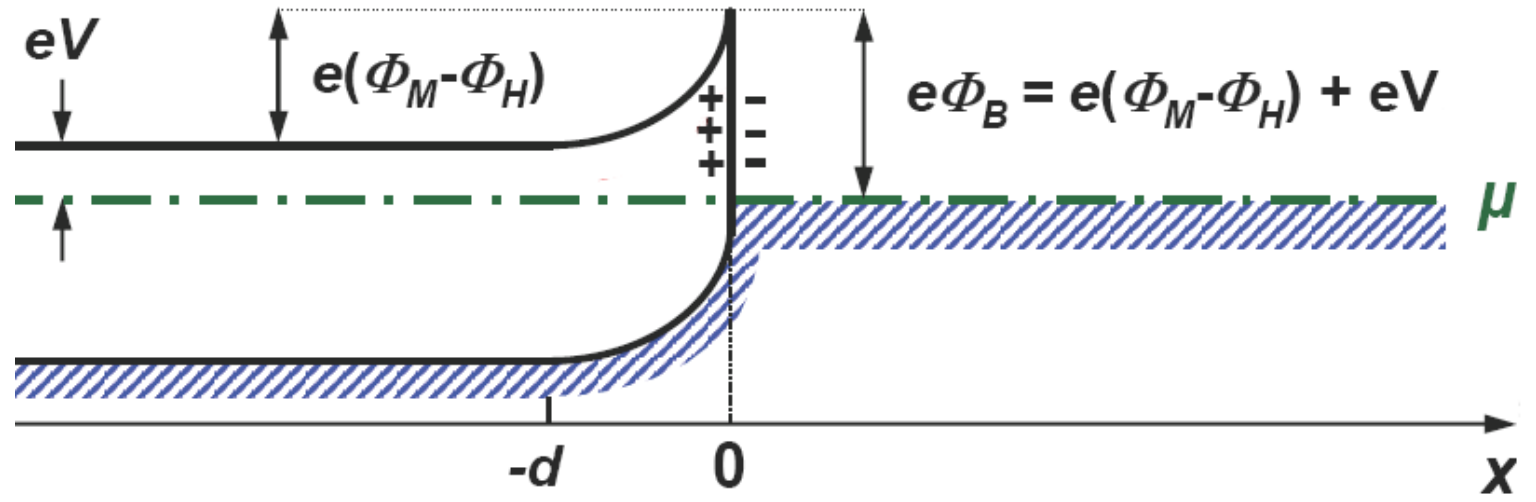


# Ohne Drähte geht's nicht: Schottky-Kontakt

getrennt  
 V: ext. Spannung



Kontakt



Kontaktpotential:

$$e V_K = \Phi_M - \Phi_H$$

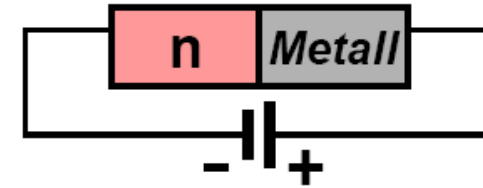
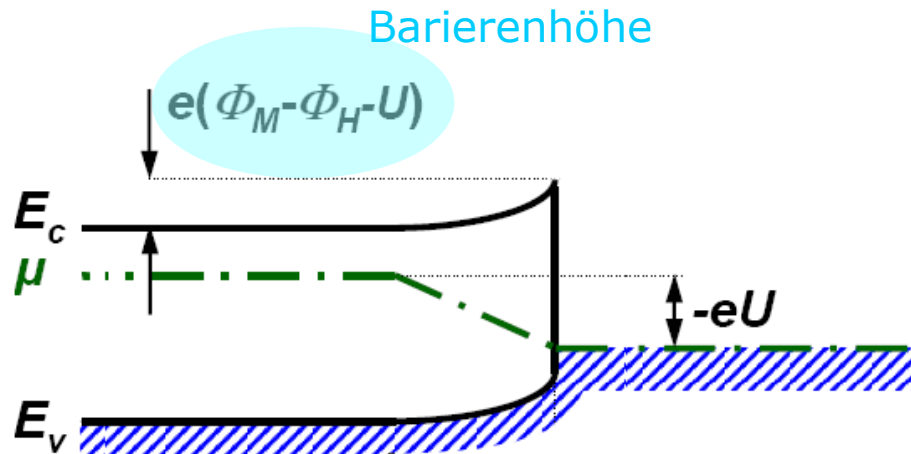
Rechnung wie pn-Übergang:

$$V(x) = - (e N_D) / (2\epsilon\epsilon_0) (d - x)^2$$

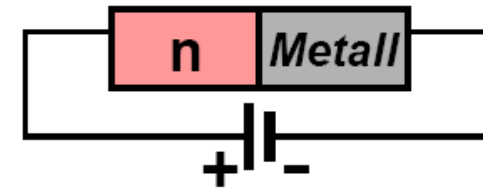
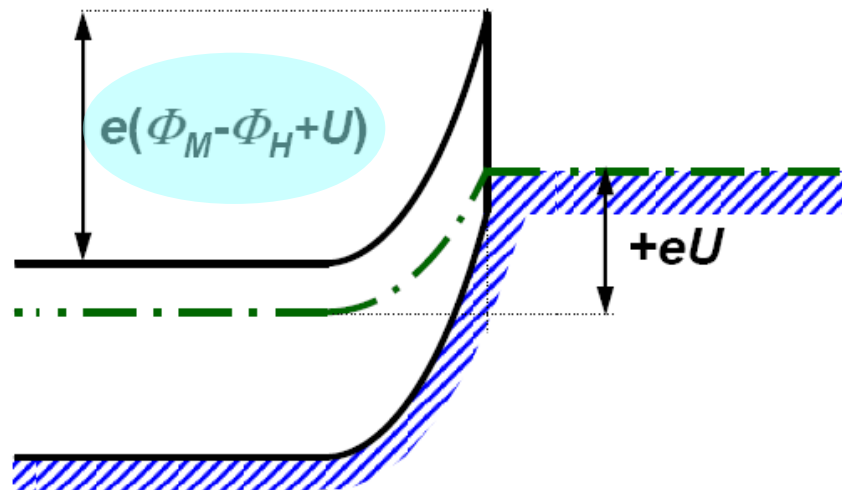
$$V(0) = V_K + V \quad \text{also } d(U=0) = \left( (2\epsilon\epsilon_0) / (e N_D) V_K \right)^{1/2}$$

# Schottkydiode

(im Schottkymodell)



Durchlassrichtung



Sperrrichtung

Ohmsch bei großem  $N_D$  (Tunneln)



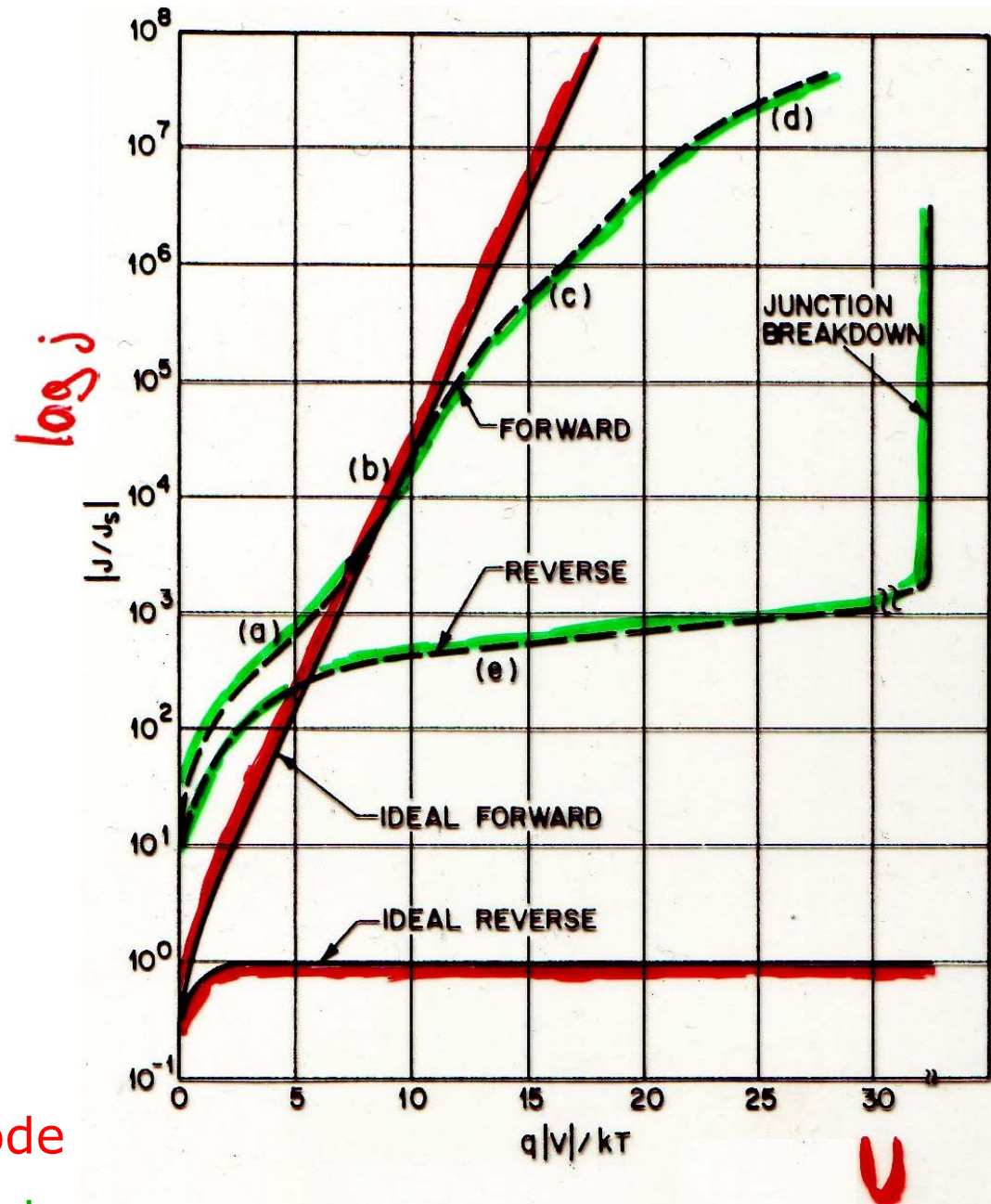
# Abweichungen vom Shockley-Modell

Zuleitungswiderstände  
Oberflächenkanäle  
Erzeugung/Vernichtung  
in Verarmungszone

Tunneln

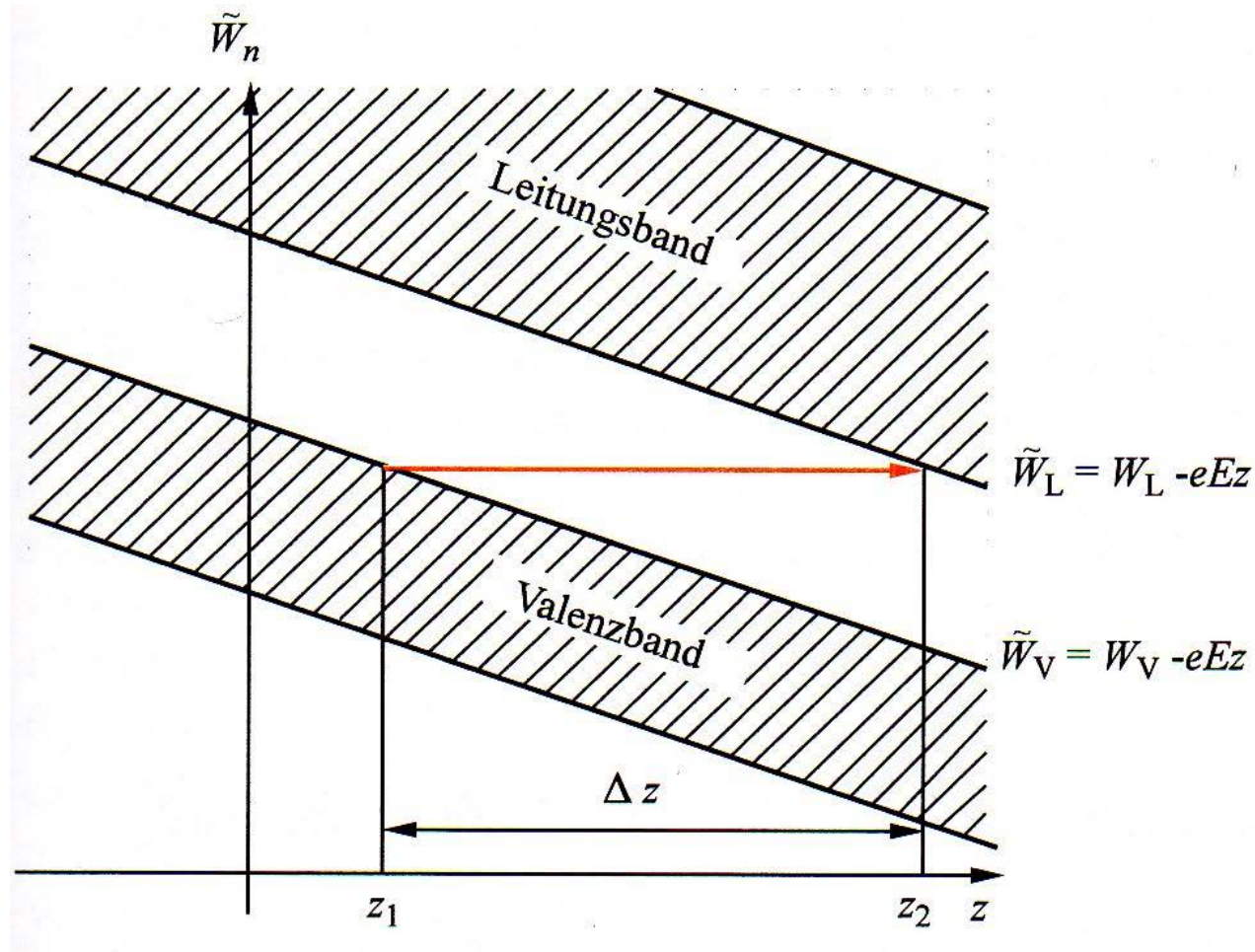
starke Injektion

(i. e. Dichte von eindiffundierenden  
 $e^-$  im p-Bereich mit n vergleichbar)



Shockley-Diode  
reale Si-Diode

# Zener-Diode



**Abb. 8.19**  
Zum Zener-Effekt

Bei hoher Sperrspannung:

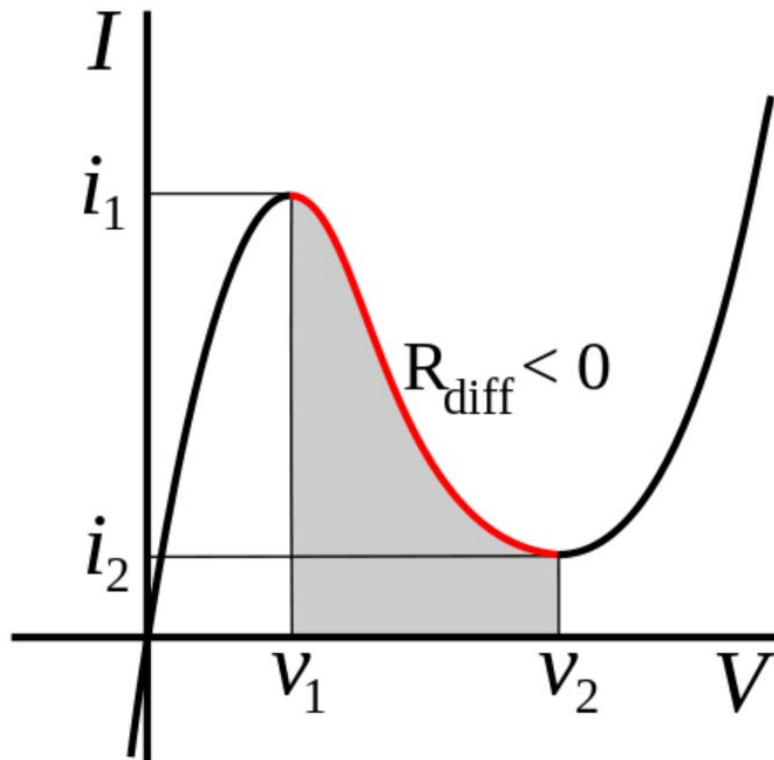
Tunneln durch Verarmungszone.

⇒ rapider Anstieg des Sperrstroms

# Esaki- oder Tunnelodiode

erfunden 1957 bei Tokyo Tsushin Kogyo (heute Sony)

NDR: parallel zu Schwingkreis werden Verluste (R) kompensiert



Leo Esaki (\* 1925)  
Nobelpreis Physik 1973

# TUNNEL DIODES

Published by

Research Information Services

November 1959

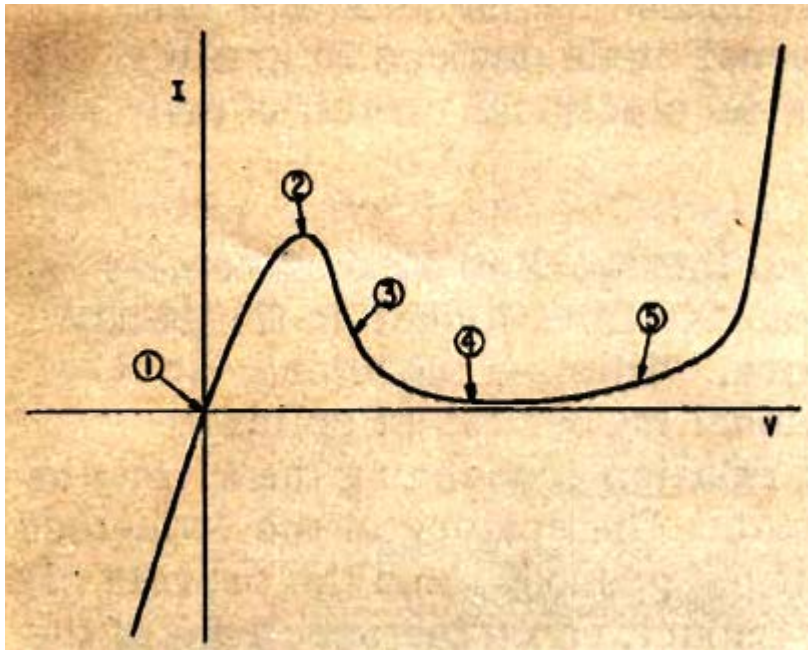


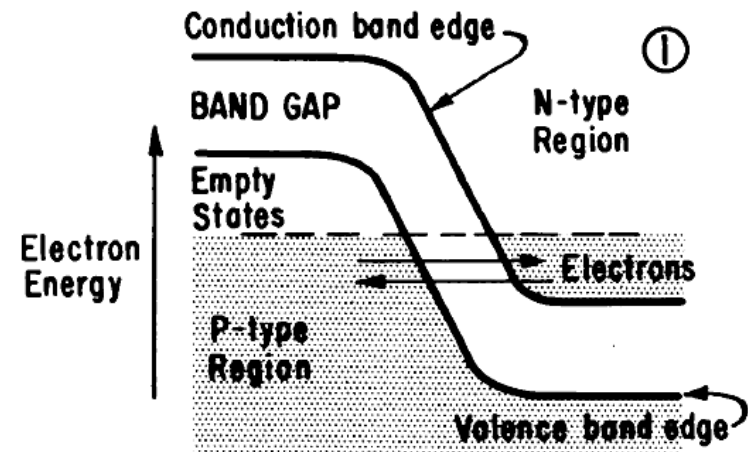
FIGURE 2

CURRENT-VOLTAGE CURVE

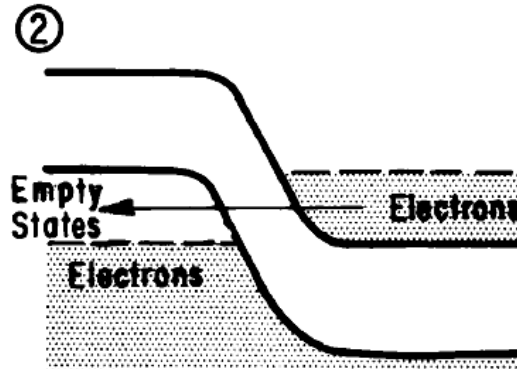
FIGURE 1

## TUNNEL DIODE JUNCTION AT VARIOUS BIAS CONDITIONS

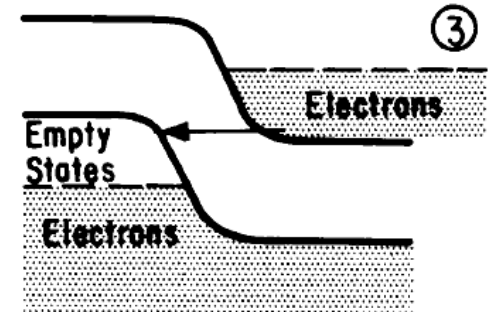
(The numbered diagrams below correspond to the numbered points on the current-voltage curve, Figure 2.)



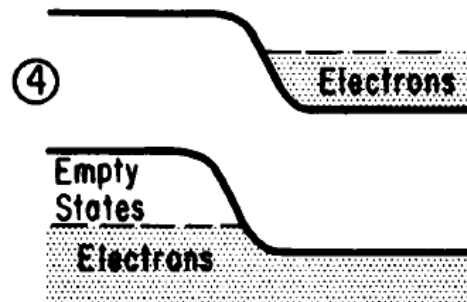
Electrons at same level on both sides of junction. No net current.



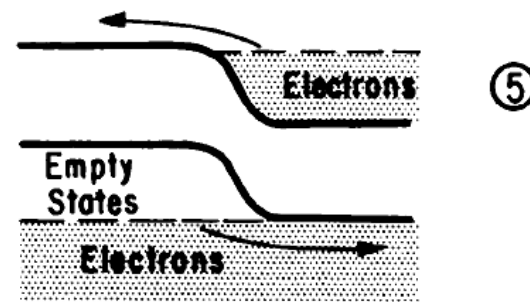
Electrons on right side are raised until they are opposite empty states on left side. Strong current flows from right to left.



Electrons on right raised still farther. Some are opposite "forbidden band gap," some opposite empty states. Current decreases.

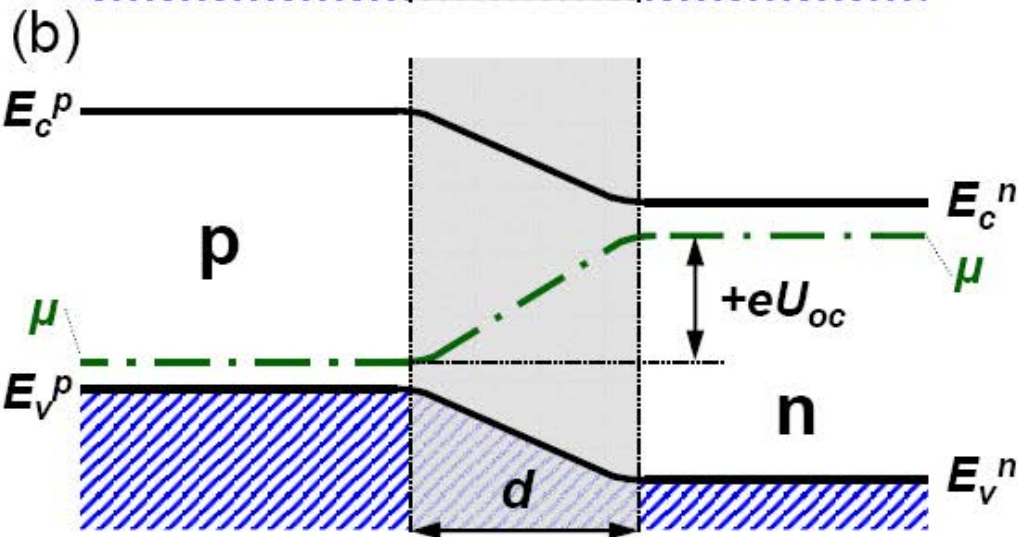
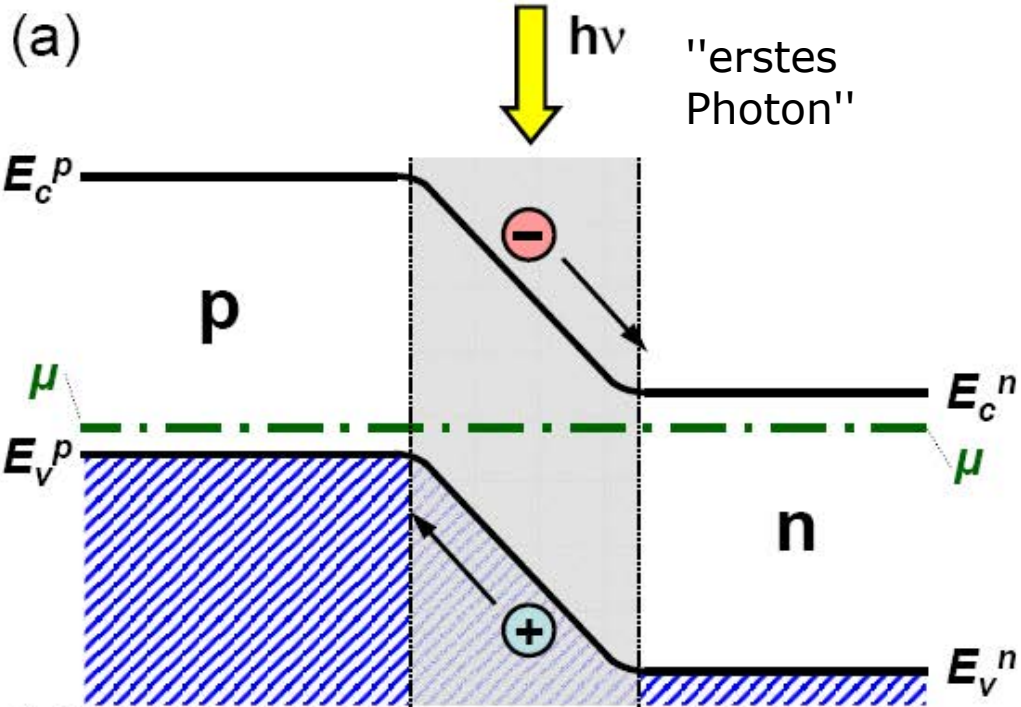


Electrons all are opposite forbidden gap. Very small current.

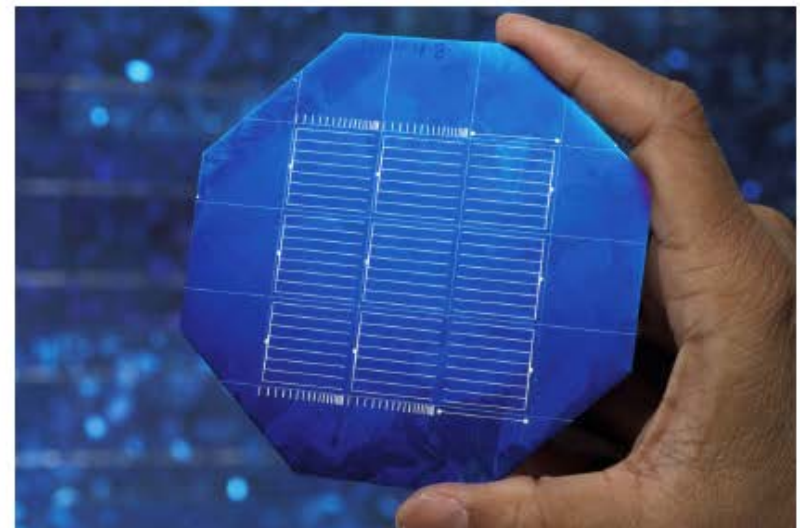
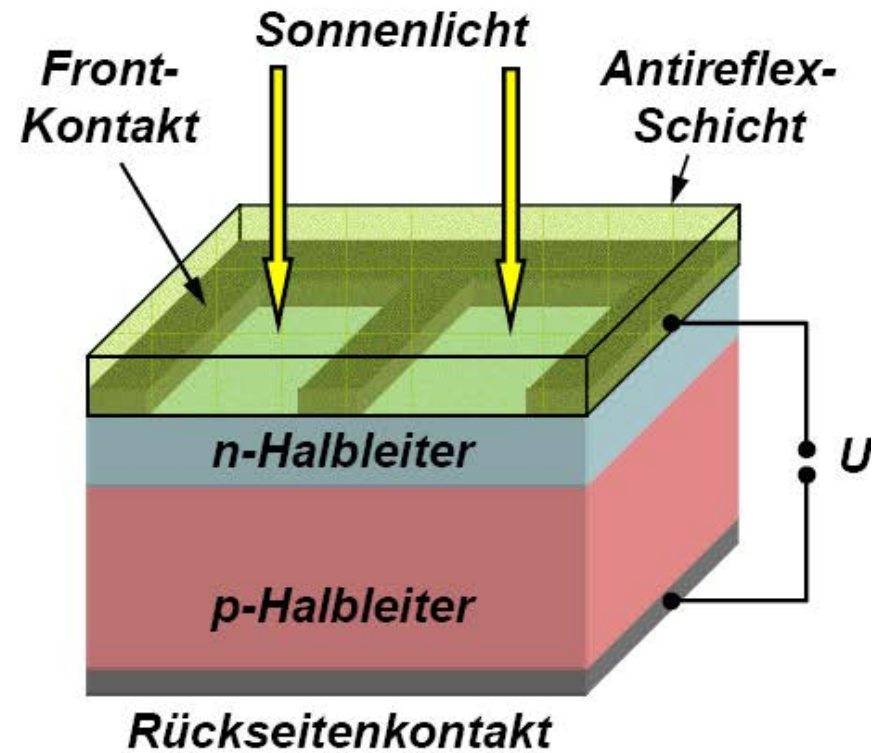


Electrons raised until they spill over barrier. Current increases.

# Solarzelle



viel Licht: Spannung  $U_{oc}$  (open circuit)

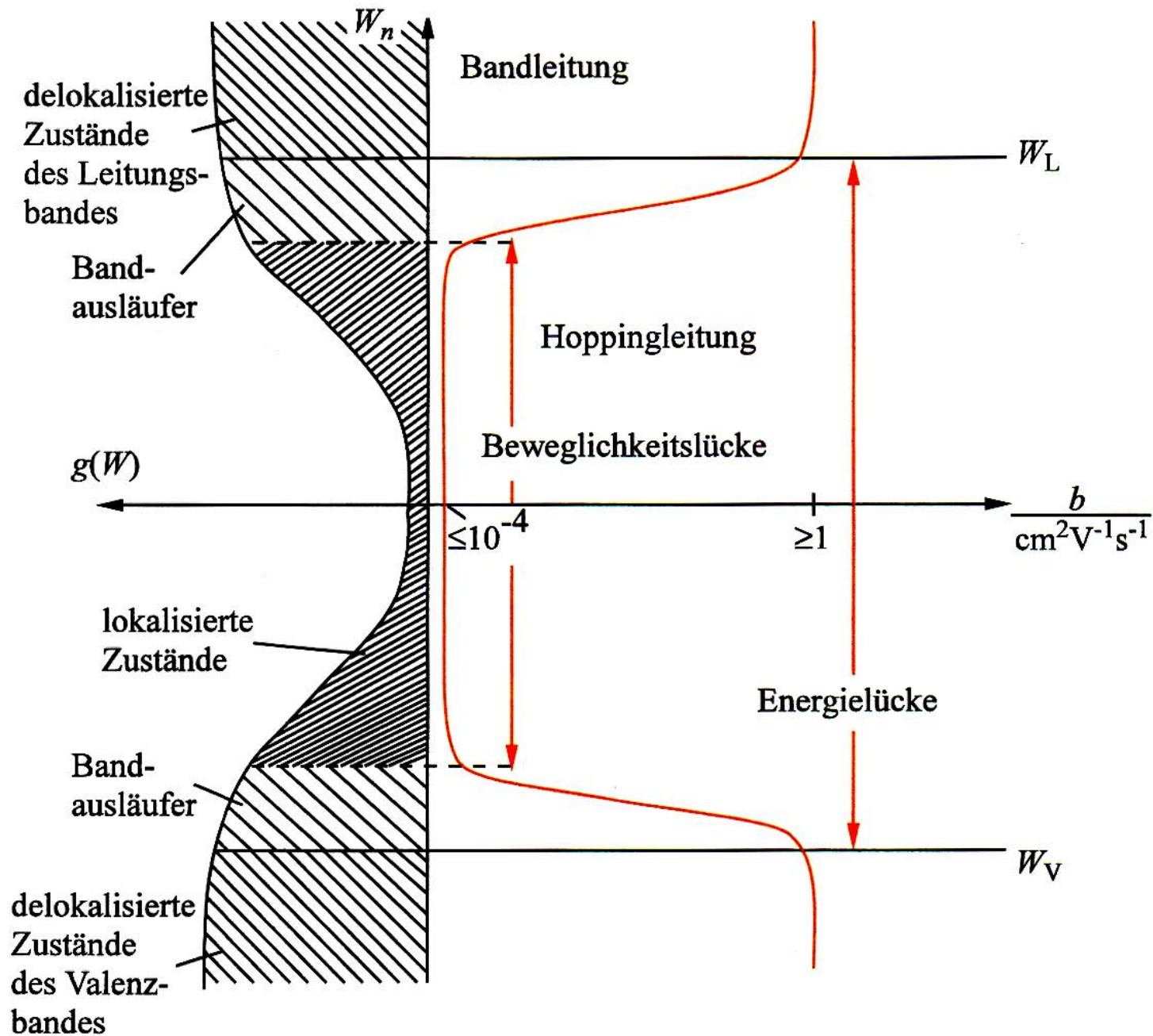


Material	Struktur	Wirkungsgrad (%)	
		Labor	Produktion
Si	amorph	13	5–7
	polykristallin	18	13 – 15
	einkristallin	24	14 – 17
GaAs	Einschicht	25	15 – 22
	Mehrschicht	32	20 – 28

Preis, Giftigkeit

Details zu Widerstand des Materials, Verlust bei  $E_{\text{photon}}$  größer als  $E_g$





**Abb. 7.22**

Energiezustände  $W_n$ , Zustandsdichte  $g(W)$  und Beweglichkeit  $b$  für einen Isolierstoff